

ГИГАНТСКОЕ МАГНИТОЕ РАСПЩЕПЛЕНИЕ ЭКСИТОННОЙ ПОЛОСЫ ОТРАЖЕНИЯ В КРИСТАЛЛЕ ZnTe : Mn

A.B. Комаров, С.М. Рябченко, Н.И. Витриховский

В кристалле ZnTe, содержащем $(6 \pm 1,6) \cdot 10^{19} \text{ см}^{-3}$ ионов Mn^{2+} , обнаружены гигантские (~ 9 мэв в полях $10 - 20$ кэ) расщепления экситонного спектра отражения. Эффекты объяснены обменным взаимодействием носителей, входящих в свободный экситон, с примесными магнитными ионами.

В работе [1] сообщалось о качественно новых магнитооптических эффектах связанных с экситонами в CdTe легированном Mn^{2+} . Наблюдавшиеся эффекты объяснены в [1] обменным взаимодействием носителей, входящих в состав свободного экситона, с примесными магнитными ионами. Хотя модель [1] должна иметь общий характер для полупроводниковых кристаллов, легированных магнитными ионами, сообщений о наблюдении подобных эффектов в других кристаллах пока нет.

В работе [1] эффекты наблюдались в основном по циркулярному дихроизму спектра отражения, а спектроскопически расщепленные компоненты спектра почти не разрешались. В данной работе сообщается о наблюдении гигантского зеемановского расщепления $1s$ -экситонной линии отражения в ZnTe с примесью Mn^{2+} , причем линии спектроскопически разрешаются начиная с полей всего в $3 - 5$ кэ. Найденные расщепления объясняются в рамках развитой в [1] схемы.

Исследования проводились на монокристаллах с концентрацией Mn^{2+} $C = (6 \pm 1,6) \cdot 10^{19} \text{ см}^{-3}$ при почти нормальном падении света на кристалл в магнитных полях параллельных и перпендикулярных направлению падения света ($H \parallel k$ и $H \perp k$) и при температурах $1,94$ и $4,2\text{K}$ на спектрофотометре ДФС-12 со спектральной шириной щели $0,15\text{\AA}$.

При $H \parallel k$, наблюдалась суммарные σ спектры отражения и раздельно в σ^+ и σ^- поляризациях, а для $H \perp k$ в σ и π поляризациях. В кристалле ZnTe без примеси Mn спектр экситонного отражения оставался неизменным (в пределах точности эксперимента) вплоть до $H \approx 30$ кэ. Спектры отражения легированного кристалла для некоторых величин H приведены на рис. 1 (*a* – *i*). На рис. 2 приведены положения минимумов σ и π спектров отражения в зависимости от H для эксперимента с $H \perp k$. Знаки σ^+ и σ^- поляризаций поставлены в соответствии с изменениями при $H \parallel k$ (знаки круговых поляризаций получены при одном из направлений поля H ; при изменении знака H они обращаются).

Из рис. 1 видно, что $1s$ -экситонная линия отражения расщепляется на шесть по разному поляризованных компонент почти симметрично относительно положения в $H = 0$. Величина расщепления намного превышает величину $2\beta H$ и в полях $10 \div 20$ кэ соответствует эффективному действию поля в несколько сот килоэрстед насыщаясь при дальнейшем росте поля.

В приближении сферической симметрии гамильтониан экситона в магнитном поле для легированного кристалла имеет вид

$$\mathcal{H} = \mathcal{H}_{\text{экс}}^{\text{орб}}(K, H) + G_e S_e + G_h S_h^{\text{эфф}} + J_{eh} S_e S_h^{\text{эфф}}, \quad (1)$$

где $\mathcal{H}_{\text{экс}}^{\text{орб}}(K, H)$ – гамильтониан орбитального движения экситона и входящих в его состав носителей в поле H ; K – волновой вектор экситона; $G_{e(h)} = g_{e(h)} \beta H + \sum_i J_{e(h)Mn_i} S_{Mn_i} = g_{e(h)} \beta H + I_{e(h)} \langle S_{Mn} \rangle$ (i – нумерует примесные ионы Mn^{2+}); $J_{e,h}$ – константа электронно-дырочного обмена; S_e – спин электрона; $S_h^{\text{эфф}}$ – эффективный спин дырки ($S_h^{\text{эфф}} = 3/2$).

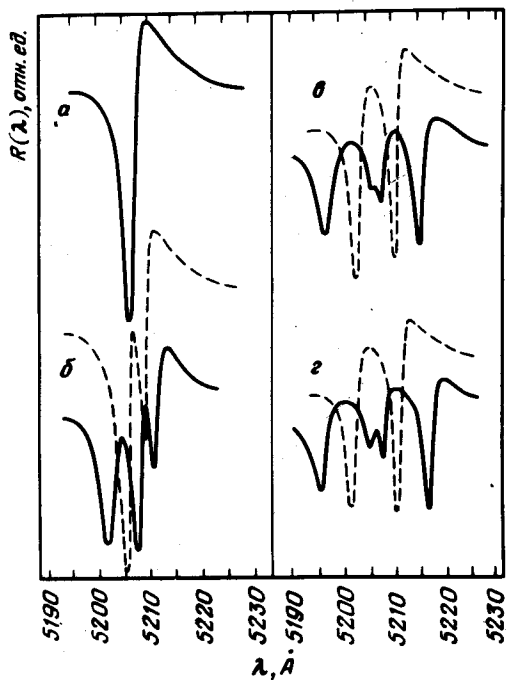


Рис. 1. Спектры отражения 1s-экзитона в магнитном поле перпендикулярном направлению распространения света для разных значений H : $a - H = 0$; $b - H = 5,72 \text{ кэ}$; $c - H = 17,15 \text{ кэ}$; $d - H = 28,55 \text{ кэ}$. (—) – σ -поляризация, (---) – π -поляризация

Согласно [2, 3] диамагнитные сдвиги, определяемые $\mathcal{H}_{\text{экс}}^{\text{орб}}(K, H)$ для кристаллов $A^{II}B^{VI}$ в полях $\lesssim 40 \text{ кэ}$ пренебрежимо малы. Тогда энергии 8-ми возможных экситонных состояний в поле H будут равны $E_j(K) = E_0(K) + E_j^{\text{СП}}$. Величины $E_j^{\text{СП}}$ вычислены в [1] при учете того, что $\langle S_{xMn} \rangle = \langle S_{yMn} \rangle = 0$, а $\langle S_{zMn} \rangle = -\frac{5}{2} B_S = \frac{5}{2} \left(\frac{g_{Mn} \beta H S}{kT} \right)$, где $B_S(X) =$ функция Бриллюэна. Поляризации в которых будут активны спиново-расщепленные экситонные состояния E_j и вероятности оптических переходов также рассмотрены в [1]. Для $|G_h(H \rightarrow \infty)| > |J_{eh}|$ схематическое расположение $E_j(K=0)$ в зависимости от $\eta = G_e/G_h$ показано на рис. 3. Экспериментальные результаты [1] соответствуют $\eta = -1$, хотя относительно большие ширины спиново-расщепленных компонент спект-

ра в CdTe: Mn не позволили там определить эту величину с большой точностью. Как видно из сопоставления (рис. 1(a-i), рис. 2 со схемой рис. 3 для ZnTe: Mn величина $-1 < \eta < 0$.

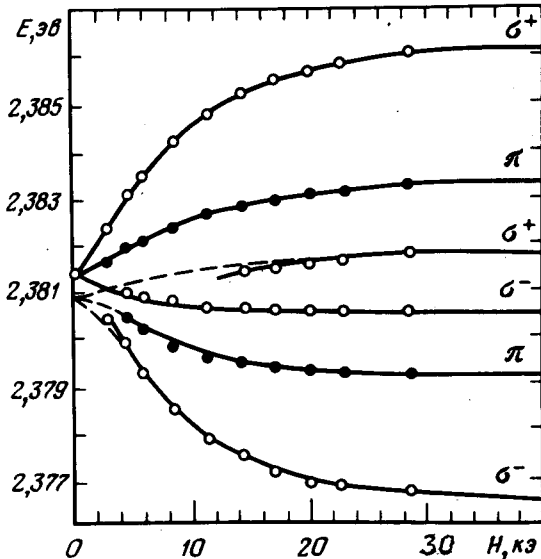


Рис. 2. Сравнение экспериментальных и рассчитанных положений минимумов спектров отражения для Hg в зависимости от поля. Экспериментальные значения для σ - и π -поляризованного света обозначены (o) и (+) — точками, соответственно. Сплошные линии — расчет для σ и π -спектров. Пунктир — расчетные положения минимумов отдельных компонент спектра в области полей, где эти компоненты малоинтенсивны.

Поскольку линии рис. 1 частично налагаются, для более точного определения параметров из эксперимента нами был введен в ЭВМ контур экситонной линии отражения при $H = 0$ — $F(E)$ и далее вычислены контуры $\Phi^\sigma(E)_{H,T} = \frac{1}{N^\sigma} \sum_j M_j^\sigma F\{E - [E_j^{\text{cp}}(H,T) - E_{H=0}]\}$ и $\Phi^\pi(E)_{H,T} = \frac{1}{N^\pi} \sum_j M_j^\pi F\{E - [E_j^{\text{cp}}(H,T) - E_{H=0}]\}$ где N^σ и N^π — нормировки, $E_{H=0}$

расчетное положение энергии разрешенного перехода для $H = 0$. При порядке нумерации спиново-расщепленных экситонных состояний принятом в [1] (он показан на рис. 3)

$$M_{1,4,5,8}^{\sigma\pm} = M_{2,3}^{\sigma+} = M_{6,7}^{\sigma-} = M_{1,2,3,6,7,8}^\pi = 0; \quad M_{4,5}^\pi = \frac{2}{3} A e_z^2 |\pm c_{4,5} + c_{5,4}|^2,$$

$$M_{2,3}^{\sigma-} = \frac{1}{2} A (1 - e_z^2) |\pm \frac{1}{\sqrt{3}} c_{2,3} + c_{3,2}|^2; \quad M_{6,7}^{\sigma+} = M_{2,3}^{\sigma-} (c_2 \rightarrow c_7; c_3 \rightarrow c_6), \quad (2)$$

где A — константа для данного вещества, e_z — проекция орта поляризации

$$\text{света на направление } \mathbf{H}, \quad c_{2,3} = p_{2,3} \left(\frac{1}{2} \pm \frac{\Delta_1}{2\sqrt{\Delta_1^2 + 3J^2}} \right)^{\frac{1}{2}};$$

$$c_{4,5} = p_{4,5} \left(\frac{1}{2} \pm \frac{\Delta}{2\sqrt{\Delta^2 + 4J^2}} \right)^{\frac{1}{2}}; \quad c_{6,7} = c_{2,3} (\Delta_1 \rightarrow \Delta_2); \quad J \equiv J_{e,h};$$

$$\Delta = G_e - G_h; \quad \Delta_{1,2} = \Delta \pm J; \quad G_{e(h)} \equiv G_{ze(h)}; \quad p_{2,4} = J / |J|; \quad p_{3,5} = 1.$$

Вычисления были проведены для различных значений η , $J_{e,h}$ при значениях $|I_e|$, обеспечивающих для каждого η совпадение рассчитанных и измеренных положений минимумов отражения в максимальном поле.

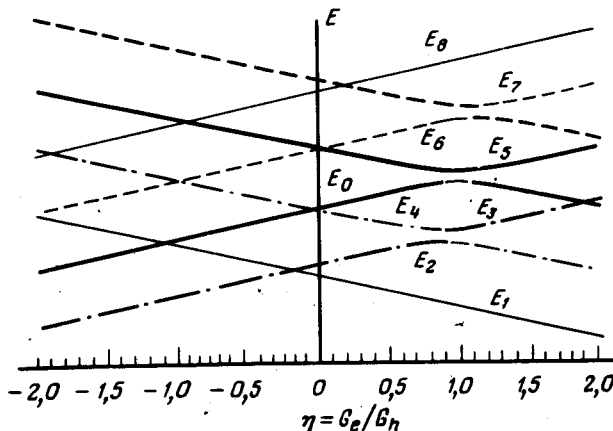


Рис. 3. Положение $E_j (K = 0)$ в зависимости от η для $J_{eh} < 0$, $G_h > 0$, (· · ·) дипольно запрещенные состояния; (— · —) — разрешенные в σ^+ ; (— · — · —) в σ^- ; (—) в π -поляризациях. Толщины линий схематически отражают вероятности переходов

Положения минимумов рассчитанных таким образом спектром отражения для $\eta = -0,5$; $J_{eh} = -0,23 \text{ мэв}$; $|I_e| = 0,566 \text{ мэв}$ ($|G_e(H \rightarrow \infty)| = 1,412 \text{ мэв}$) приведены на рис. 2 сплошными линиями. При вычислении $E_j^{\text{сп}}(H, T)$ прямым действием магнитного поля на спины электрона и дырки (членами $g_{e(h)}\beta H$ в выражениях для $G_{e(h)}$) мы пренебрегали. Расчетные спектры менее чувствительны к J_{eh} , чем к η и весьма хорошо совпадают с экспериментальными. С учетом точности измерений следует принять для исследуемого кристалла $\eta = -0,5 \pm 0,02$; $J_{eh} = -0,23 \pm 0,05 \text{ мэв}$; $|I_e| = 0,566 \pm 0,008 \text{ мэв}$. Значение $J_{e,h}$ практически согласуется с данными работы [4]. Результаты измерений при $T = 4,2 \text{ К}$ также совпадают с расчетом при данных значениях параметров с учетом $G_{e(h)} \sim B \frac{(g\beta HS)}{S=5/2 kT}$.

Таким образом, проведенные измерения подтверждают общий характер эффектов обменного взаимодействия носителей с примесными магнитными ионами и позволяют более детально сравнить теорию этих эффектов с экспериментом.

В кристаллах CdTe легирование ионами Fe^{2+} , Mn^{2+} кроме эффектов исследованных в [1], приводит к сдвигам энергии экситона в отсутствие магнитного поля [5]. Из модели [1] эти сдвиги не следуют. Отсутствие подобных сдвигов в ZnTe: Mn при весьма большом эффекте обменного взаимодействия носителей с магнитной примесью подтверждает не обменную природу наблюдавшихся в [5] сдвигов.

Институт полупроводников
Академии наук Украинской ССР

Институт физики
Академии наук Украинской ССР

Поступила в редакцию
18 февраля 1978 г.

Литература

- [1] А.В.Комаров, С.М.Рябченко, О.В.Терлецкий, И.И.Жеру, Р.Д.Иванчук. ЖЭТФ, 72, 608, 1977.
 - [2] K.Cho, W.Dreybrodt, D.Heisenger, S.Suga . Proc. 12- th Int Conf. Phys. Semicond. Stuttgart, 1974, 945; K.Cho, S.Suga, W.Dreybrodt, F.Willman. Phys. Rev., B11, 1512, 1975.
 - [3] M. Altarelli, N.O.Lipary. Phys. Rev., B7, 3798, 1973.
 - [4] M.Suffezynski, W.Wardzynski. Phys. Lett., 36A, 29, 1971.
 - [5] И.Ф. Скицко. Автореферат кандидатской диссертации "Особенности влияния примесей группы железа и деформаций на экситоны в CdTe". Черновицкий госуниверситет, 1975 г.; Н.П.Гавалешко, Р.Д.Иванчук, М.В.Курик, И.Ф.Скицко. ФТТ, 18, 2371, 1976.
-